

Академик А. В. НИКОЛАЕВ, Л. Н. МАЗАЛОВ, А. П. САДОВСКИЙ,  
Э. А. ГАЛЬЦОВА, В. В. МУРАХТАНОВ, В. Г. ТОРГОВ, В. М. БЕРТЕНЁВ, А. П. ЗЕЙФ

РЕНТГЕНОВСКИЕ ЭМИССИОННЫЕ  $K_{\beta}$ -СПЕКТРЫ СЕРЫ  
В НЕКОТОРЫХ СЕРУСОДЕРЖАЩИХ СОЕДИНЕНИЯХ  
И ИХ СВЯЗЬ СО СТРОЕНИЕМ ЭТИХ МОЛЕКУЛ

В настоящей работе проведено рентгеноспектральное изучение электронной структуры ряда молекул серусодержащих соединений, которые в последнее время начинают использоваться в качестве экстрагентов<sup>(1)</sup>. Изучались рентгеновские эмиссионные  $K_{\beta}$ -спектры серы в ди-*n*-алкилсульфидах  $R_2S$  (где  $R = CH_3, C_2H_5, C_4H_9, C_6H_{13}, C_8H_{17}$ ), дифенилсульфидае ( $C_6H_5)_2S$  и некоторых гетероциклических соединениях (3-метилтиофен, бензотиофен, тиантрен). Рентгеновские флуоресцентные  $K_{\beta}$ -эмиссионные спектры серы были получены на рентгеновском светосильном спектрометре УРС-3 и<sup>(2)</sup>. Спектры снимались в первом порядке отражения. Методика получения флуоресцентных спектров жидкостей и газов была описана в<sup>(2, 3)</sup>.  $K_{\beta}$ -спектры различных дигалкилсульфидов приведены на рис. 1. Здесь же приведены рентгеновские  $K_{\beta}$ -эмиссионные спектры сероводорода.

Сопоставление спектров органических сульфидов и сероводорода показывает, что спектры имеют много общего. Так, во всех спектрах наблюдается четко выраженный наиболее интенсивный коротковолновый максимум  $A$ , с длинноволновой стороны которого наблюдаются максимумы  $B$  и  $C$ . Эти последние максимумы особенно отчетливо проявляются в спектре  $H_2S$ . Отмеченные особенности тонкой структуры спектров эмиссии алифатических сульфидов непосредственно отражают структуру занятых молекулярных уровней. Рассматриваемые молекулы принадлежат к группе симметрии  $C_{2v}$  или же симметрия атомов ближайшего окружения атома серы может быть описана группой  $C_{2v}$ . Наиболее существенный вклад в образование химической связи в сероводороде будут вносить 3s- и 3p-электроны атома серы и 1s-электроны атомов водорода, а в случае органических сульфидов электроны, находящиеся на  $sp^3$ -гибридизованной орбитали атома углерода, являющегося концевым атомом углеводородного радикала. Применяя обычные методы группового анализа, получаем, что 8-валентных электронов системы должны располагаться на четырех молекулярных орбиталях симметрии  $a_1, b_2, a_1, b_1$ . Можно ожидать, что в рамках рассматриваемого базиса, нижайшим уровнем молекулы будет уровень симметрии  $a_1$ , построенный в основном из 3s-волновых функций серы и соответствующей симметричной комбинации волновых функций ближайших атомов радикалов  $\frac{1}{\sqrt{2}}(\sigma_1 + \sigma_2)$ . Вследствие дипольных правил отбора этот уровень не проявляется в  $K_{\beta}$ -эмиссионном спектре серы. Кроме рассматриваемого уровня связующего типа, возможны еще два уровня симметрии  $a_1, b_2$ , построенных с участием 3p-электронов атома серы. Волновые функции соответствующих уровней при учете наиболее существенных вкладов, в рамках рассматриваемого базиса волновых функций системы, могут быть записаны:

$$C_3\Psi(3p_z) + C_4\frac{1}{\sqrt{2}}(\sigma_1 + \sigma_2); \quad C_5\Psi(3p_y) + C_6\frac{1}{\sqrt{2}}(\sigma_1 - \sigma_2).$$

Наряду с рассмотренными молекулярными орбитальми в рентгеновских эмиссионных спектрах должны проявляться 3p<sub>x</sub>-электроны атома серы, которые в случае молекул симметрии  $C_{2v}$  являются электронами несвязующего типа ( $b_1$ ). Очевидно, что так как 3p<sub>x</sub>-электроны не принимают участия в образовании химической связи, энергия соответствующего несвя-

зующего уровня будет больше энергии уровней типа  $a_1$  и  $b_2$ . С другой стороны, интенсивность рентгеновских переходов определяется величиной квадрата матричного элемента.

$$I \sim |\langle \psi(1s) r \Psi_{\text{мол}} \rangle|^2 = C_i^2 |\langle \psi(1s) r \Psi(3p_i) \rangle|^2,$$

т. е. пропорциональна квадрату коэффициента при  $3p$ -волновой функции атома серы для молекулярной орбитали соответствующей симметрии. Та-

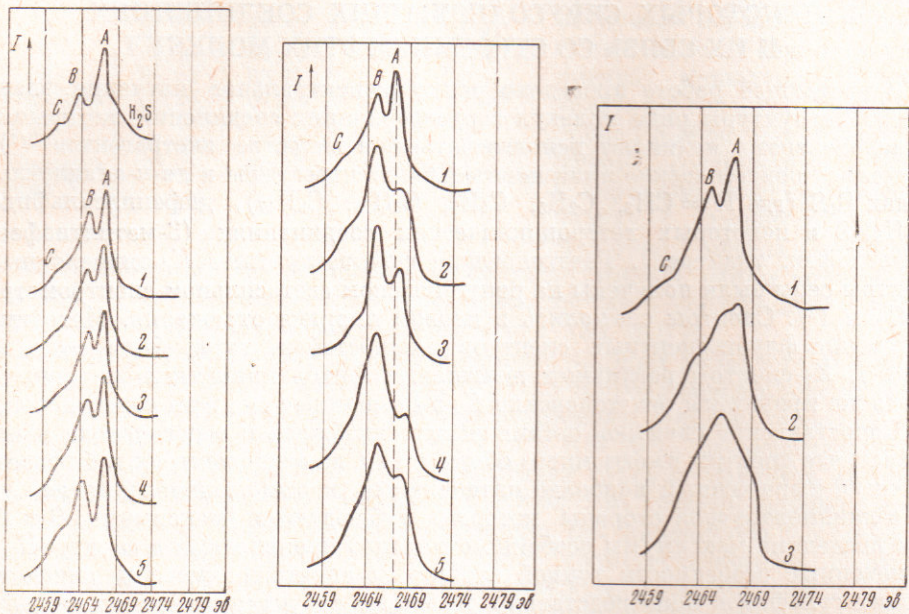


Рис. 1

Рис. 1.  $K_\beta$ -эмиссионные спектры S. Слева — в сероводороде и ди-*n*-алкилсульфидах: 1 —  $(C_8H_{17})_2S$ , 2 —  $(C_6H_{13})S$ , 3 —  $(C_4H_9)S$ , 4 —  $(C_2H_5)_2S$ , 5 —  $(CH_3)_2S$ ; в середине — в серусодержащих соединениях: 1 — *n*-( $C_8H_{17})_2S$ , 2 —  $(C_6H_5)_2S$ , 3 — 3-метилтиофене, 4 — бензотиофене, 5 — тиантрене; справа — в ди-*n*-гексилсульфидах (1), продуктах экстракции  $PdCl_2$  ди-*n*-гексилсульфидом (2) и дифенилсульфидом (3)

ким образом, для рассмотренных трех типов уровней, проявляющиеся в рентгеновских  $K_\beta$ -спектрах эмиссии, справедливо соотношение:  $I_{b_1} : I_{a_1} : I_{b_2} = C_{b_1}^2 : C_{a_1}^2 : C_{b_2}^2$ . Вид волновых функций показывает, что наибольшей интенсивностью должен обладать рентгеновский переход с уровня  $b_1$  несвязующего типа, так как для него  $C_{b_1}^2 = 1$ , для остальных уровней  $C_i^2 < 1$ .

Проведенный анализ позволяет сделать отнесение пиков в  $K_\beta$ -спектрах серы в диалкилсульфидах. Пик  $A$  как по своему энергетическому положению, так и по интенсивности может быть обусловлен непосредственно несвязующими электронами молекулы. Остальные более длинноволновые пики дают информацию об энергетических уровнях электронов, ответственных за связывание в молекулах типа  $R_2S$ . Относительная интенсивность этих пиков может характеризовать отношение соответствующих квадратов орбитальных коэффициентов. Имеющиеся расчеты электронной структуры молекулы  $H_2S$  (4-8) показывают, что верхний заполненный уровень соответствует несвязующим  $3p_x$ -электронам атома серы  $b_1$ . Затем в порядке возрастания энергии связи идут уровни  $a_1$  и  $b_2$ . Отношение квадратов коэффициентов для молекулы  $H_2S$ , согласно данным расчета (5), равно  $1 : 0,6 = -0,3 : 0,3$ , а экспериментальное значение  $1 : 0,5 : 0,2$ . В табл. 1 приведены энергетические расстояния, рассчитанные теоретически, а также полученные разными экспериментальными методами. Как видно из этих данных,

Таблица 1

Уровни	Рентгеновск. эксперимент	По (5)		По (6)		По (7)		По (8)		По (9)		Фотоакт- ронные (13) спектры	Электронный удар и опти- ка (14, 15)
		по (5)	по (6)	по (7)	по (8)	по (9)	по (10)	по (5)	по (6)	по (7)	по (8)		
$\varepsilon_{b_1}$	10,47	-11,12; -10,66; -10,56	-10,47	-11,64; -11,79; -12,40	-9,53	-3,25; -3,67	10,42	10,47					
$\varepsilon_{a_1}$	13,7	-12,55; -12,16; -12,72	-14,73	-12,61; -13,25; -13,75	-12,35	-6,31; -6,57	12,62	12,2					
$\varepsilon_{b_2}$	15,97	-13,97; -13,62; -14,53	-18,37	-12,66; -13,53; -15,87	-14,43	-11,36; -11,49	14,82	14,0					
$\varepsilon_{b_1} - \varepsilon_{a_1}$	3,2	1,42 1,50 2,16	4,26	0,97 1,46 1,35	2,82	-3,06; -2,91	2,2	2,27					
$\varepsilon_{b_1} - \varepsilon_{b_2}$	5,5	2,85 1,96 3,97	8,9	1,0 1,56 3,47	4,90	-7,11; 7,82	4,4	3,53					

Примечание. Энергия уровня получена путем прибавления к энергии ( $\varepsilon_{b_1}$ ) разности ( $\varepsilon_{b_1} - \varepsilon_{a_1}$ ) и ( $\varepsilon_{b_1} - \varepsilon_{b_2}$ ), найденных из рентгеновских спектров.

порядок уровней во всех рассмотренных теоретических работах качественно согласуется с результатами рентгеноспектральных измерений. Ранее (9) было показано, что результаты рентгеноспектральных измерений относительных энергий в случае спектров эмиссии могут быть непосредственно сопоставлены с разностью соответствующих потенциалов ионизации. Считая точно установленным первый потенциал ионизации молекулы  $\text{H}_2\text{S}$ , связанный с отрывом одного электрона неподеленной пары, и используя рентгеноспектральные данные по относительному расположению уровней в  $\text{H}_2\text{S}$ , можно определить энергии соответствующих связующих уровней (табл. 1 и 2).

На рис. 1 приведен  $K_{\beta}$ -спектр эмиссии серы в дифенилсульфидах. В отличие от диалкилсульфидов, в дифенилсульфидах наряду с системой  $\sigma$ -связей возможно образование  $\pi$ -связи атома серы с бензольными кольцами. Эта связь может осуществляться за счет пары  $3p_x$ -электронов атома серы, которые ранее относились к несвязывающим электронам, а также за счет не занятых  $\pi$ -орбиталей бензола. Наличие такой  $\pi$ -связи с бензольными кольцами приводит к перераспределению неподеленной пары атома серы, так что электронная плотность на атоме серы уменьшается за счет частичного перераспределения плотности  $3p_x$ -электронов атома серы на бензольные кольца. Сумма квадратов орбитальных коэффициентов при  $3p$ -атомных волновых функциях серы, взятые по всем возможным  $\pi$ -орбиталям, будет меньше единицы, т. е.  $\sum |C_i(3p_x)|^2 < 1$ . Следовательно, в рентгеновских спектрах дифенилсульфида, 3-метилтиофена, бензотиофена и тиантрена можно ожидать изменения отношения интенсивностей пиков  $I(A) : I(B) : I(C)$ . Действительно, как видно из рентгеновских спектров, приведенных на рис. 1, наиболее коротковолновый пик, соответствующий в диалкилсульфиках несвязывающим электронам, резко понижается по интенсивности. На этом же рисунке приведены рентгеновские эмиссионные  $K_{\beta}$ -спектры серы в других серусодержащих органических соединениях, в которых возможно участие  $3p_x$ -электронов атома серы в  $\pi$ -связывании с окружающими атомами. Во всех случаях относительная интенсивность пика  $A$  уменьшается.

Таблица 2

Формула	$\varepsilon_{b_1}$		$\varepsilon_{a_1}$		$\varepsilon_{b_2}$		$\varepsilon'_{a_1}$		$\varepsilon_{b_1} - \varepsilon_{a_1}$		$\varepsilon_{b_1} - \varepsilon_{b_2}$	
	теор.	[16] эксп.	теор.	эксп.	теор.	эксп.	теор.	эксп.	теор.	эксп.	теор.	эксп.
$(\text{CH}_3)_3\text{S}$	8,68	8,77	14,12	11,47	17,55	14,67	30,89	5,44	2,7	8,77	5,9	<sup>1</sup>
$(\text{C}_2\text{H}_5)_2\text{S}$		8,56		10,96		14,16			2,4		5,6	
$(\text{C}_4\text{H}_9)_2\text{S}$		8,40		10,8		14,3			2,4		5,9	
$(\text{C}_6\text{H}_{13})_2\text{S}$									2,3		6,2	
$(\text{C}_8\text{H}_{17})_2\text{S}$									2,3		6,2	

Для оценки величины изменения плотности электронов  $3p_x$  на атоме серы при переходе от диалкилсульфидов к дифенилсульфиду или к соединениям, в которых электронное состояние серы подобно состоянию серы в  $(C_6H_5)_2S$ , были приведены расчеты  $\pi$ -электронной системы методом молекулярных орбит в приближении Хюкеля. Результаты расчетов, а также исходные параметры приведены в табл. 3, 4, из которых видно, что в молекулах с возможной  $\pi$ -связью атома серы с радикалами заряд на атоме серы уменьшается за счет уменьшения плотности  $\pi$ -электронов, что фиксируется в соответствующих рентгеновских спектрах уменьшением интенсивности эмиссионного пика  $A$ . В табл. 3 также приведены рассчитанные упрощенные индексы реакционной способности Фукуи. Для дифенилсульфида индекс Фукуи меньше, чем для диалкилсульфидов, что коррелирует с уменьшением экстракционной способности  $R_2S$  при замене алкильного радикала на фенильный<sup>(10)</sup>. Таким образом, уменьшение относительной ин-

Формула	Заряд на атоме серы	Индекс свободной валентности атома серы	Положение верхнего заполненного уровня $E$	$c^2/m$ — индекс Фукуи
$(C_4H_9)_2S$	1,975	1,045	0,899	1,000
$(C_5H_5)_2S$	1,974	1,045	0,900	1,000
$(CH_3)_2S$	1,974	1,043	0,902	1,005
$(C_6H_5)_2S$	1,913	0,844	0,643	0,650
$\begin{array}{c} \text{---CH}_3 \\   \\ \text{---} \end{array}$	1,619		0,589	

можной  $\pi$ -связью атома серы с радикалами заряд на атоме серы уменьшается за счет уменьшения плотности  $\pi$ -электронов, что фиксируется в соответствующих рентгеновских спектрах уменьшением интенсивности эмиссионного пика  $A$ . В табл. 3 также приведены рассчитанные упрощенные индексы реакционной способности Фукуи. Для дифенилсульфида индекс Фукуи меньше, чем для диалкилсульфидов, что коррелирует с уменьшением экстракционной способности  $R_2S$  при замене алкильного радикала на фенильный<sup>(10)</sup>. Таким образом, уменьшение относительной ин-

Таблица 4

Кулоновские интегралы		Резонансные интегралы	
$\alpha C$ (аром)	0,0 (11)	$\beta C$ (аром) — $C$ (аром)	1,0 (11)
$\alpha C$ (алиф)	0,1 (11)	$\beta C(H_2) — C(H_2)$	0,822 (11)
$\alpha H_3 = \alpha H_2$	0,5 (11)	$\beta C(H_3) — H_3$ или $H_2$	2,92 (11)
$\alpha S$	-1,0 (12)	$\beta C(H_2) — S$	0,5 (11)
		$\beta C$ (аром) — $S$ для $(C_6H_5)_2S$	0,475 (11)

тенсивности эмиссионного пика в рентгеновских спектрах (рис. 1) показывает, что, по мере того как  $3p_x$ -электроны атома серы в этих молекулах начинают принимать участие в химической связи, происходит уменьшение  $\pi$ -электронной плотности на атоме серы и, следовательно, уменьшается донорная способность ответственного за экстракцию атома серы.

Наряду с эмиссионными спектрами органических сульфидов, сняты спектры в продуктах экстракции  $PdCl_2$  ди- $n$ -гексил и дифенилсульфидами (рис. 1). Как видно из рисунка, наличие связи  $Pd-S$  приводит к коренному изменению структуры эмиссионного спектра по сравнению с  $R_2S$  за счет перераспределения валентных электронов атома серы при координации к нему атома палладия.

Институт неорганической химии  
Сибирского отделения Академии наук СССР  
Новосибирск

Поступило  
15 VII 1969

#### ЦИТИРОВАННАЯ ЛИТЕРАТУРА

- 1 А. В. Николаев, В. Г. Торгов и др., Изв. СО АН СССР, 6, № 14, 120 (1967).
- 2 А. П. Садовский, Э. Е. Вайнштейн и др., Приборы и техн. эксп., 1, 174 (1966).
- 3 А. В. Николаев, Л. Н. Мазалов и др., Докл. на X Всесоюзн. совещ. по химии комплексных соединений, Киев, 1969.
- 4 Р. Мессия, J. Chem. Phys., 40, 2186 (1964).
- 5 D. G. Carroll, A. T. Armstrong, S. P. McCluny, J. Chem. Phys., 44, № 5 (1966).
- 6 S. D. Thompson, P. G. Carroll et al., J. Chem. Phys., 45, № 5, 1367 (1966).
- 7 I. M. Sichel, M. A. Whitchead, Theor. Chem. Acta, 7, 32 (1967).
- 8 A. Raunk, J. G. Csizmadia, Canad. J. Chem., 46, 1205 (1968).
- 9 А. П. Садовский, Л. Н. Мазалов и др., Докл. на Международн. симпозиуме. Рентгеновские спектры и электронная структура вещества, Киев, 1968.
- 10 А. В. Николаев, В. Г. Торгов и др., Докл. на конфер. по химии экстракции, М., 1969.
- 11 К. Хигаси, Х. Баба, А. Рембаум, Квантовая органическая химия, М., 1967.
- 12 Л. И. Лагутская, В. И. Данилова, Сборн. Применение молекулярной спектроскопии в химии, М., 1966, стр. 41.
- 13 M. J. Al-Jouboury, D. W. Tigray, J. Chem. Soc., 1964, 4434.
- 14 W. C. Price, T. M. Sugden, Trans. Farad. Soc., 44, 108 (1948).
- 15 W. C. Price, J. Chem. Phys., 4, 147 (1936).
- 16 В. И. Хвостенко, И. И. Фурлей, ЖФХ, 42, № 1, 13 (1968).